#### МГУ им. М.В. Ломоносова

#### Факультет наук о материалах

#### Отчет по десятинедельному практикуму

# Синтез и исследование шпинелей состава Mg<sub>1-x</sub>Co<sub>x</sub>Al<sub>2</sub>O<sub>4</sub>

Выполнили студенты 1 курса

Егорин Д.Д.

Олейниченко К.Н.

Руководители:

Зыкин М.А.

Володина М.О.

# Оглавление

Введение	3
Литературный обзор	4
Экспериментальная часть	8
Итоги рентгено-фазового анализа	12
Выводы	22
Список использованной литературы	23

#### Введение

Шпинели — минералы класса сложных оксидов общей формулы  $AB_2O_4$ , где A -  $Mg^{2+}$ ,  $Zn^{2+}$ ,  $Mn^{2+}$ ,  $Fe^{2+}$ ,  $Ni^{2+}$ ,  $Co^{2+}$ ; B -  $A1^{3+}$ ,  $Mn^{3+}$ ,  $Fe^{3+}$ ,  $V^{3+}$ ,  $Cr^{3+}$ ,  $Ti^{4+}$ .

Шпинели образуются при высоких температурах из твердофазных реагентов. Из-за того, что для получения шпинелей используются твёрдые вещества, реакция протекает очень медленно, и для её ускорения применяются различные химические методы синтеза. совместное разложение солей, содержащих нужные катионы металлов, или их соосаждение из растворов для достижения гомогенности. Именно шпинелей, применением выполнению синтеза ЭТИХ гомогенизации, а также сравнению результатов и будет посвящена наша работа.

#### Цель работы

• Синтез серии замещенных шпинелей с использованием двух методов гомогенизации и их последующим сравнением

#### Задачи

- Получение навыки практической работы
- Изучение тематической литературы
- Синтез серии шпинелей состава  $Mg_{1-x}Co_xAl_2O_4$  с использованием соосаждения и механического перетирания
- Ознакомление с методом рентгенофазового анализа и обработка данных, полученных с его помощью
- На основании полученных данных установить кристаллическую структуру полученных шпинелей
- Сравнить преимущества и недостатки использованных методов гомогенизации

### Литературный обзор

Шпинели – минералы класса сложных оксидов общей формулы AB<sub>2</sub>O<sub>4</sub>, где A - Mg<sup>2+</sup>, Zn<sup>2+</sup>, Mn<sup>2+</sup>, Fe<sup>2+</sup>, Ni<sup>2+</sup>, Co<sup>2+</sup>; B - A1<sup>3+</sup>, Mn<sup>3+</sup>, Fe<sup>3+</sup>, V<sup>3+</sup>,  ${\rm Cr}^{3+}$ ,  ${\rm Ti}^{4+}$ . Шпинели – системы твёрдых растворов с широким изоморфизмом катионов А и В. Шпинели кристаллизуются в кубической сингонии. образуя главным образом октаэдрические кристаллы. 32 аниона О, Элементарная ячейка включает которые образуют кубическую упаковку 64 плотнейшую c тетраэдрическими (катионы занимают 8) и 32 октаэдрическими (занимают 16) пустотами.

Для шпинелей характерны высокотемпературные условия образования. Для синтеза чаще всего используют прямое взаимодействие смесей исходных реагентов. Твёрдые тела. как правило, взаимодействуют друг с другом при нормальных условиях, и для реакции между ними, протекающей с заметной скоростью, необходимо нагревание, часто до 1000-1500°C. MgO и  $Al_2O_3$  реагируют друг с другом с образованием MgAl<sub>2</sub>O<sub>4</sub> однако на практике скорость реакции между ними при обычных температурах очень мала. Взаимодействие в смеси порошков MgO и Al<sub>2</sub>O<sub>3</sub> становится заметным только при нагревании на 1200 °C, а для завершения реакции необходима выдержка при температуре 1500°С в течение нескольких суток.

Структура веществ-участников реакции. При сравнении структуры  $MgAl_2O_4$  со структурами MgO и  $Al_2O_3$  выявляются одновременно признаки сходства и различия. И MgO, и шпинель имеют плотнейшую кубическую упаковку ионов кислорода, тогда как  $Al_2O_3$  – искажённую гексагональную плотнейшую упаковку. В то же время ионы  $Al^{3+}$  занимают как в  $Al_2O_3$ , так и в шпинель октаэдрические позиции, а ионы  $Mg^{2+}$  - октаэдрические позиции в MgO, но тетраэдрические в  $MgAl_2O_4$ .

# Почему протекание твердофазной реакции затруднено?

Для того, чтобы ответить на этот вопрос и понять, почему заметная скорость реакции наблюдается только при высоких температурах, взаимодействие кристаллов MgO  $Al_2O_3$ . соприкасающихся по общей плоскости. В результате соответствующего теплового воздействия на границе раздела кристаллов возникает слой  $MgAl_2O_4$ , причём на первой стадии образуются зародыши  $MgAl_2O_4$ . Значительные структурные различия исходных веществ и продукта затрудняют зародышеобразование, так как совершающаяся при этом структурная перестройка требует разрыва существующих связей и образования новых, а также миграции атомов на расстояние, которое в некоторых случаях может быть весьма значительным (на атомном уровне). Ионы  $Mg^{2+}$  в MgO и ионы  $A1^{3+}$  в  $Al_2O_3$  размещаются в регулярных узлах решётки, и их перемещение в соседний незанятый узел происходит с большим трудом. Только при высокой температуре ионам сообщается тепловая энергия, достаточная для того, чтобы тот или иной ион мог покинуть свою нормальную позицию в решётке и начать диффундировать через кристалл. Таким образом, образование зародышей MgAl<sub>2</sub>O<sub>4</sub> требует некоторой перегруппировки кислородных ионов в месте локализации будущего зародыша и одновременно взаимного обмена ионов  $Mg^{2+}$  и  $A1^{3+}$  через поверхность раздела двух кристаллов.

Следующий этап взаимодействия двух кристаллов — рост образовавшегося слоя продукта взаимодействия — может протекать ещё более затруднённо, чем зародышеобразование. Для того, чтобы реакция развивалась дальше и толщина слоя  $MgAl_2O_4$  увеличивалась, необходима встречная диффузия ионов  $Mg^{2+}$  и  $A1^{3+}$  через уже имеющийся слой шпинели к новым реакционным поверхностям. При этом появляются уже две такие поверхности: одна отделяет MgO от  $MgAl_2O_4$ , а другая -

 $MgAl_2O_4$  от  $Al_2O_3$ . Если принять, что диффузия ионов  $Mg^{2+}$  и  $A1^{3+}$  к этим поверхностям является стадией, лимитирующей скорость реакции в целом, то становится понятным, почему взаимодействие MgO и  $Al_2O_3$  даже при высоких температурах протекает медленно (так как диффузия — медленный процесс); кроме того, следует учесть, что скорость реакции по мере её развития должна убывать, так как толщина слоя продукта постепенно увеличивается.

#### Площадь поверхности твёрдых тел.

Площадь поверхности одного и того же количества твёрдого вещества может меняться в широчайших пределах в зависимости от того, находится тело в виде монокристалла, в виде грубого или тонкого порошка; иначе говоря, площадь поверхности зависит от размера частиц.

Возьмём монокристалл MgO в форме куба объёмом 1 см<sup>3</sup>. Он имеет общую поверхность граней  $6*10^{-4}$  м<sup>2</sup>. Представим теперь, что этот кристалл измельчён в тонкий порошок, каждая частичка которого тоже представляет из себя куб со стороной 10 мкм=10-3 см. Такой размер частиц характерен для образцов, подвергшихся истиранию в агатовой ступке в течение 1 часа. Порошок теперь состоит из 109 кристаллитов, каждый из которых имеет поверхность 6\*10<sup>-6</sup> см<sup>2</sup>. Таким образом, суммарная поверхность частиц порошка составляет  $6*10^3$  см $^2 = 6*10^{-1}$  м $^2$ . Наконец, представим себе, что то же количество MgO взято в виде очень тонкого порошка, частицы которого имеют форму куба с ребром 100  $A=10^{-6}$  см. Для достижения столь малого размера кристаллических частиц потребовался бы чрезвычайно длительный помол, однако химические методы, такие, как осаждение из растворов или разложение солей, позволяют довольно легко получить порошок с таким размером частиц. Образец MgO содержит теперь 10<sup>18</sup> криталлитов суммарной площадью поверхности  $10^{18*}(6*10^{-16}) = 600 \text{ м}^2$ .

Видно, что площадь поверхности MgO, как и любого другого твёрдого вещества, увеличивается при уменьшении размера частиц. Увеличение площади поверхности реагирующих веществ оказывает сильнейшее воздействие на скорость протекания реакции, так как увеличивается суммарная площадь контактирующих поверхностей.

#### Соосаждение.

Одним из приёмов интенсификации твердофазных реакций является совместное осаждение компонентов реакции. В ряде случаев с его помощью можно получить одновременно малый размер частиц и высокую степень гомогенизации, что соответствует ускорению твердофазной реакции. Однако этот приём не следует применять для получения образцов высокой чистоты и материалов со строго заданной стехиометрией, так как осадок всегда в той или иной степени загрязнён веществами, которые теоретически должны полностью оставаться в растворе.

#### Экспериментальная часть.

#### Синтез с помощью механической гомогенизации.

Для совместного разложения солей были выбраны алюмоаммонийные квасцы, магниево-аммонинийные и кобальто-аммонийные шёниты. Без-аммонийные сульфаты этих металлов не подходят для синтеза, так как образуют несколько кристаллогидратов, изза чего становится невозможным сделать взвесь с точно заданными количествами солей.

Все необходимые реагенты были найдены в практикуме и перекристаллизованы для получения чистых кристаллогидратов известного состава.

Нам было нужно получить 5 образцов массой 0,5г с различным содержанием примеси кобальта, для этого мы провели необходимые расчёты:

- 1)  $n(\text{шпинели}) = m(\text{шпинели})/M(\text{шпинели}) = 0.5/(24,3 \cdot (1-x)+58,93 \cdot x+2 \cdot 26,98)$
- 2)  $m((NH_4)_2Mg(SO_4)_2 \cdot 6H_2O) = 360 \cdot (1-x) \cdot n(шпинели)$
- 3)  $m((NH_4)_2Co(SO_4)_2 \cdot 6H_2O) = 395 \cdot x \cdot n(шпинели)$
- 4) m(4NH4Al(SO4)2 ·12H2O) = 453 · n(шпинели)

Мы воспользовались общими формулами (1) – (4) для нахождения

X	$m((NH_4)_2Mg(SO_4)_2\cdot 6H_2O), \Gamma$	$m(NH_4Al(SO_4)_2 \cdot {}^{\downarrow} H_2O), \Gamma$	$m((NH_4)_2Co(SO_4)_2 \cdot 6H_2O), \Gamma$
0	1,2676	3,19	-
0,2	0,9664	3,04	0,2651
0,4	0,6923	2,904	0,5064
0,6	0,4417	2,779	0,727
1	-	2,56	1,158

масс исходных веществ, необходимых для синтеза (Таблица 1):

#### Уравнение протекающей реакции:

•  $(1-x)(NH_4)_2Mg(SO_4)_2 \cdot 6H_2O + x(NH_4)_2Co(SO_4)_2 \cdot 6H_2O +$   $2(NH_4)Al(SO_4)_2 \cdot 12H_2O = Mg_{1-x}Co_xAl_2O_4 + 2(NH_4)_2SO_4 + 4SO_2\uparrow +$  $4O_2\uparrow 30H2O\uparrow$ 

В каждом из пяти случаев мы в течение 10 минут перетирали каждое из исходных веществ в фарфоровой ступке, затем смешивали полученные перетёртые навески в фарфоровом тигле и нагревали на газовой горелке до прекращения выделения воды из кристаллогидратов. Также, в ходе нагревания происходило частичное разложение солей. Затем полученную безводную смесь пересыпали в фарфоровую ступку и опять перетирали в течение 10 минут. После этого смесь была помещена в алундовый тигель и прокалена на воздуходувной горелке. В ходе этого происходило частичное разложение солей, а также окончательное удаление воды из смеси. Смесь вновь была тщательно перетёрта в фарфоровой ступке, помещена в алундовый тигель и поставлена в муфельную печь для обжига при температуре 900°C. После этого полученное вещество было опять тщательно перетёрто в ступке. Часть образца мы отправили на РФА, а остальное пересыпали в алундовый тигель и подвергли обжигу при температуре 1200°C в муфельной печи, после чего также перетёрли и отправили на РФА. При этом с увеличением содержания примеси кобальта в образце увеличивалась насыщенность синей окраски вещества, что свидетельствует о том, что ионы кобальта заняли тетраэдрические пустоты в структуре шпинели, то есть, как мы и предполагали, произошло замещение магния.

#### Метод соосаждения.

Мы также воспользовались общими формулами (1) – (4), выведенными ранее для нахождения количества реагентов, а затем,

используя полученные значения, нашли количество гидрокарбоната натрия, необходимое для осаждения, после количества веществ мы перевели в массы (Таблица 2):

x	$m((NH_4)_2Mg(SO_4)_2 \cdot 6H_2O)$	$m(NH_4Al(SO_4)_2 \cdot {}^{\downarrow} H_2O)$	$m((NH_4)_2Co(SO_4)_2 \cdot 6H_2O)$	m(NaHCO3)
0	1,2676 г	3,19 г	-	2,365 г
0,2	0,9664 г	3,04 г	0,2651 г	2,256 г
0,4	0,6923 г	2,904 г	0,5064 г	2,15 г
0,6	0,4417 г	2,779 г	0,727 г	2,06 г
1	-	2,56 г	1,158 г	1,89 г

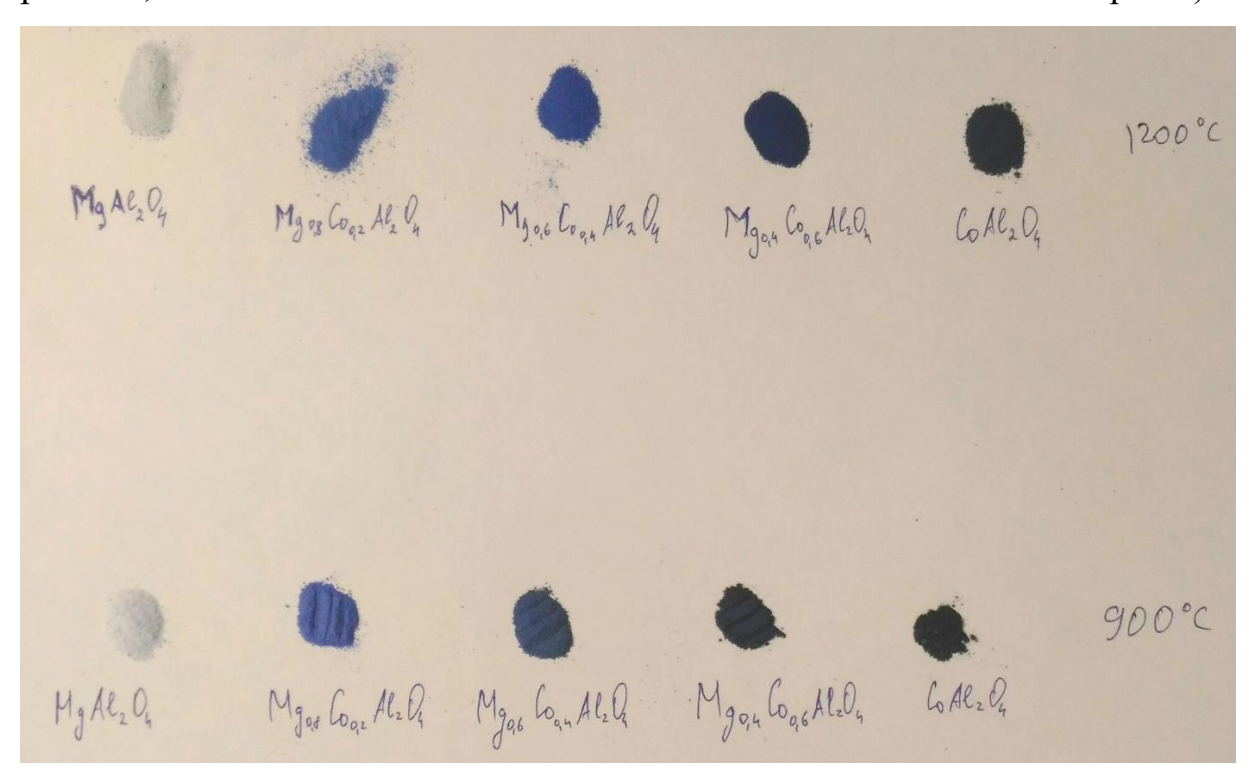
Таблица 2. "Массы исходных веществ для соосаждения"

#### Уравнение протекающих реакций:

- $NH_4Al(SO_4)_2 \cdot 12H_2O + 4NaHCO_3 = NH_3\uparrow + 2Na_2SO_4 + Al(OH)_3\downarrow + 4CO_2\uparrow + 13H_2O$
- $(NH_4)_2Mg(SO_4)_2 \cdot 6H_2O + 2NaHCO_3 = MgCO_3\downarrow + 2Na_2SO_4 + 8H_2O + 2NH_3\uparrow$
- $(NH_4)_2Co(SO_4)_2 \cdot 6H_2O + 2NaHCO_3 = CoCO_3 \downarrow + 2 Na_2SO_4 + 8H_2O + 2NH_3 \uparrow$
- $xCoCO_3 + (1-x)MgCO_3 + 2Al(OH)_3 = Mg_{1-x}Co_xAl_2O_4 + CO_2\uparrow + 3H_2O\uparrow$

Навески исходных веществ были в течение 10 минут перетёрты в фарфоровой ступке, а затем растворены. Полученные растворы были слиты в один стакан, перемешаны и нагреты на газовой горелке до кипения при постоянном помешивании для полноты протекания реакции, а затем охлаждены до комнатной температуры. Полученный осадок был отфильтрован и высушен в сушильной печи. После этого он был тщательно перетёрт в фарфоровой ступке, помещён в алундовый тигель и прокалён на воздуходувной горелке. При этом произошло частичное разложение карбонатов и гидроксида, находящихся в смеси. Затем смесь была вновь тщательно перетёрта и поставлена в муфельную печь для обжига при 900°С. После этого полученное вещество было опять тщательно перетёрто в ступке. Часть образца мы отправили на РФА, а

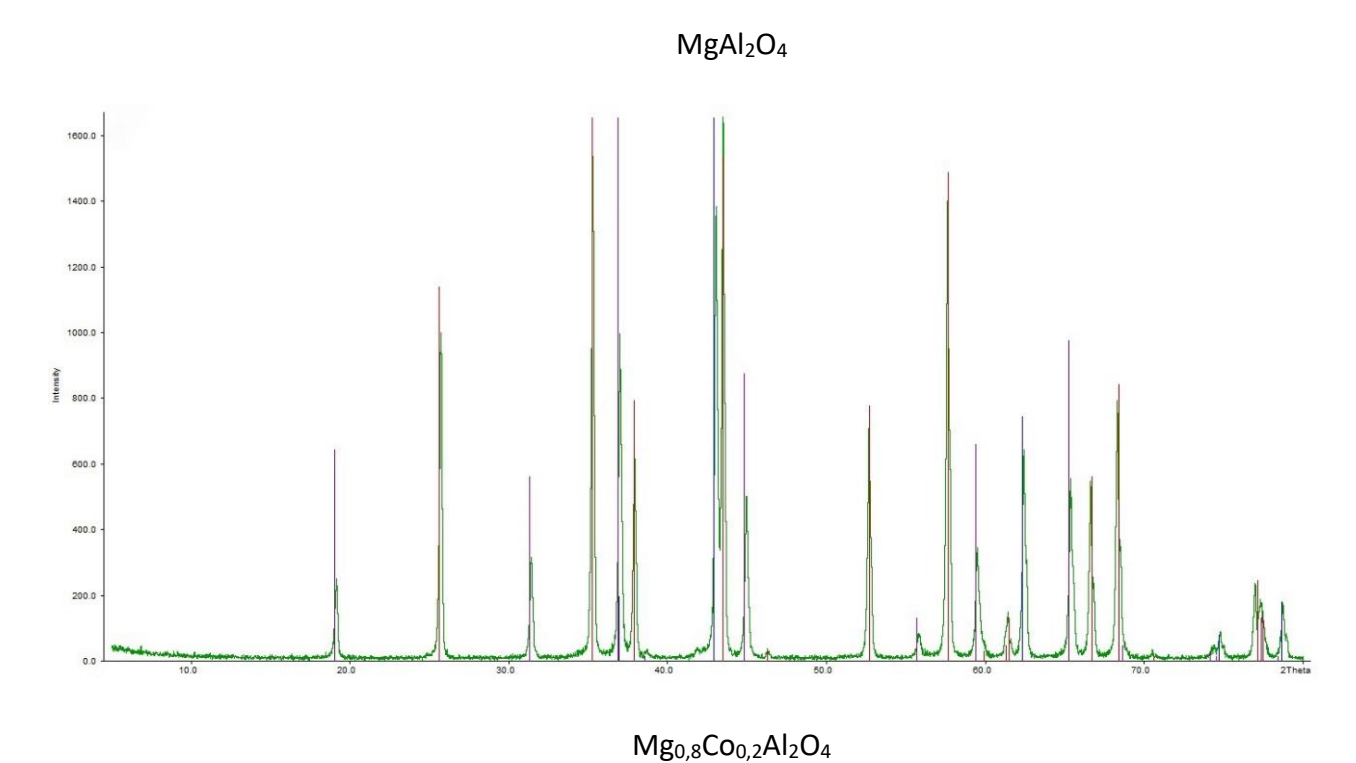
остальное пересыпали в алундовый тигель и подвергли обжигу при температуре 1200°С в муфельной печи, после чего также перетёрли и отправили на РФА. Как и при первом методе синтеза, при увеличении количества примеси кобальта в шпинели увеличивалась насыщенность синей окраски вещества, однако цвет шпинелей, полученных вторым способом был ещё более насыщенным, чем у образцов, полученных первым способом (пятый образец, полученный методом соосаждения (х = 1) был настолько насыщенного тёмно-синего цвета, что сначала мы решили,

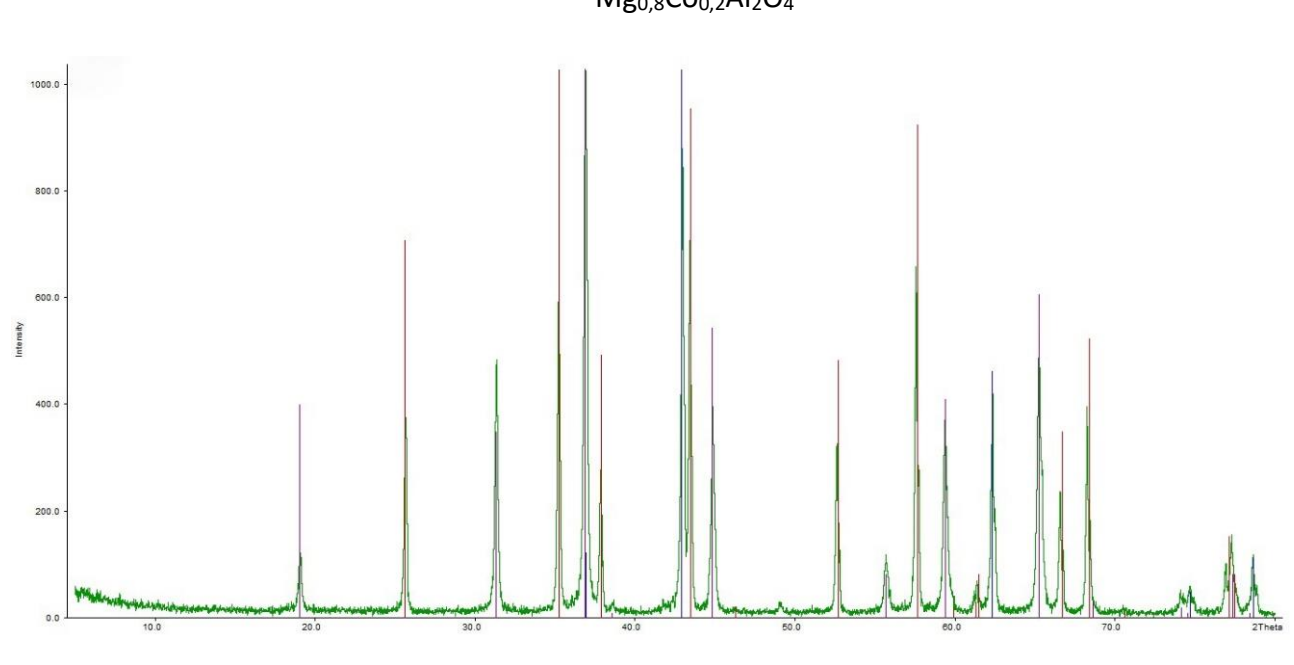


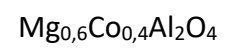
# Итоги рентгено-фазового анализа

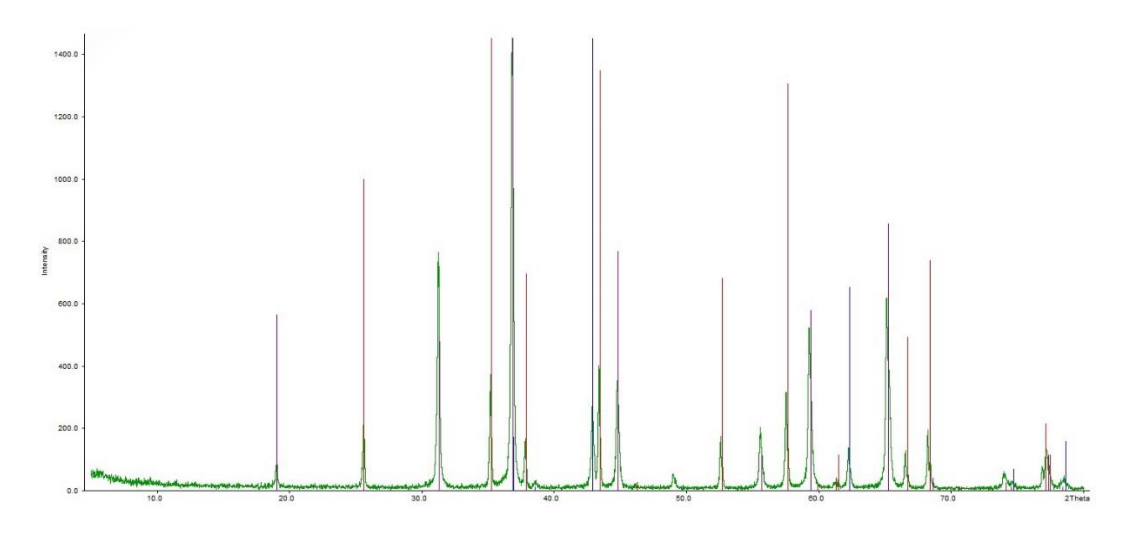
Ниже приведены рентгено-фазовые диаграммы для полученных нами образцов:

# Метод разложения солей, 1200°C:

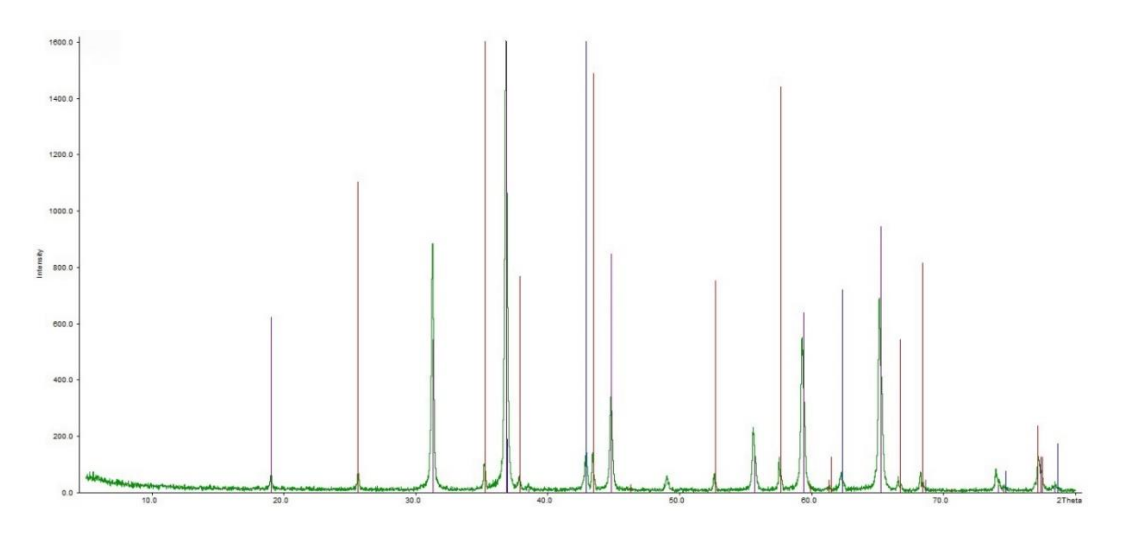




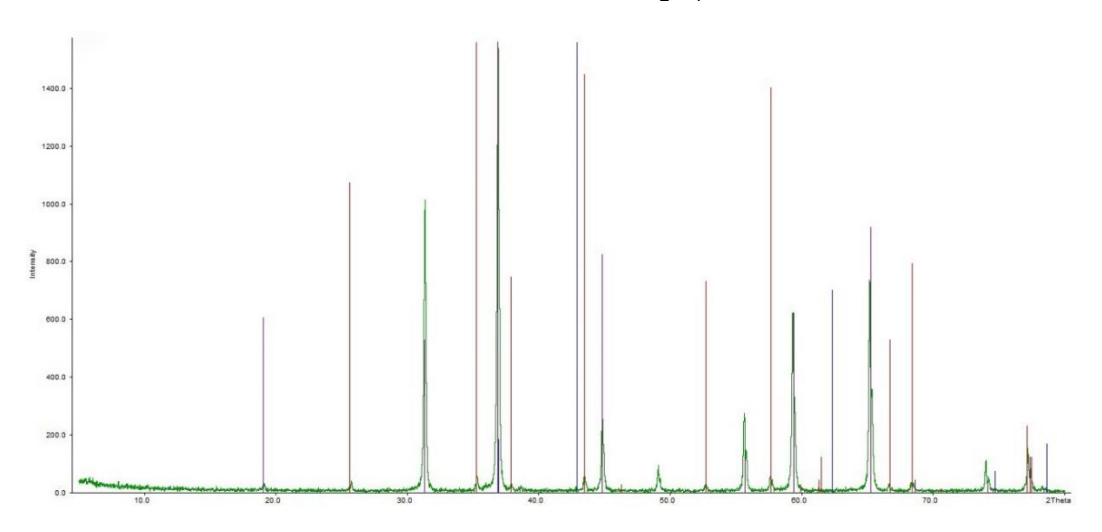




# $Mg_{0,4}Co_{0,6}AI_2O_4$

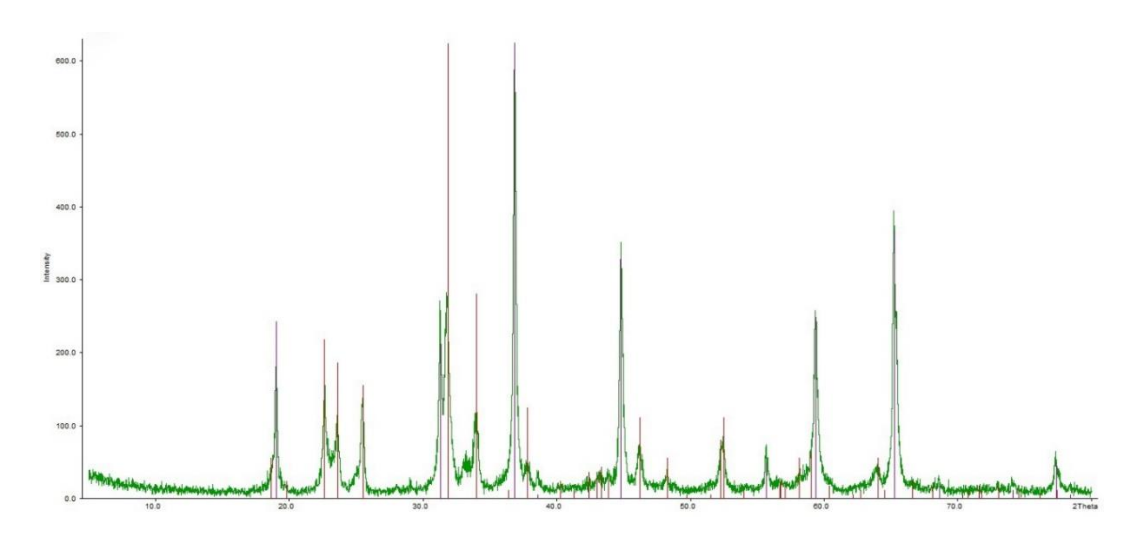


# CoAl<sub>2</sub>O<sub>4</sub>



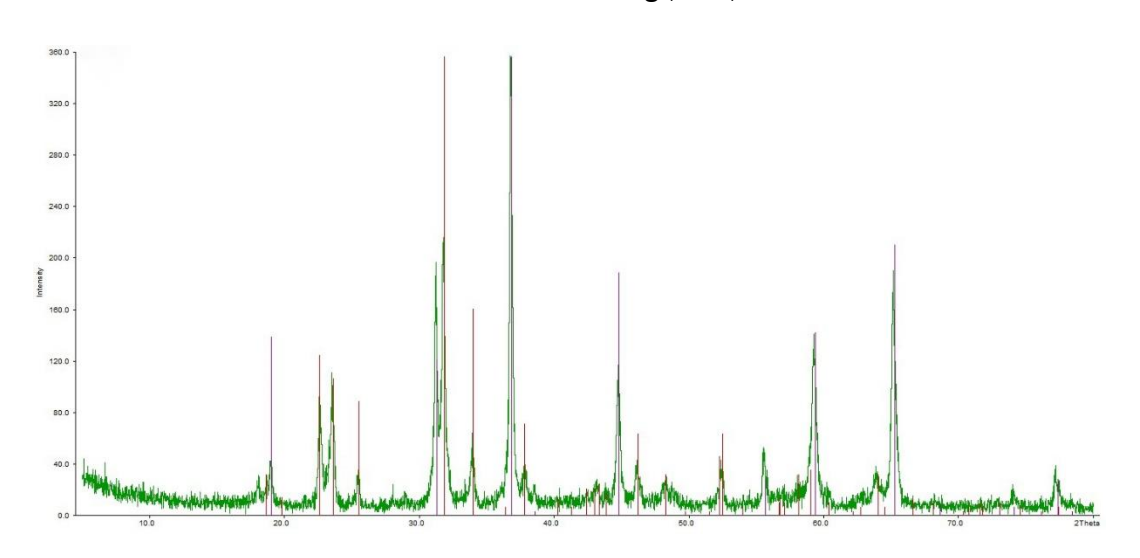
# Метод соосаждения, 1200°C:

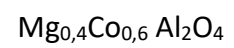


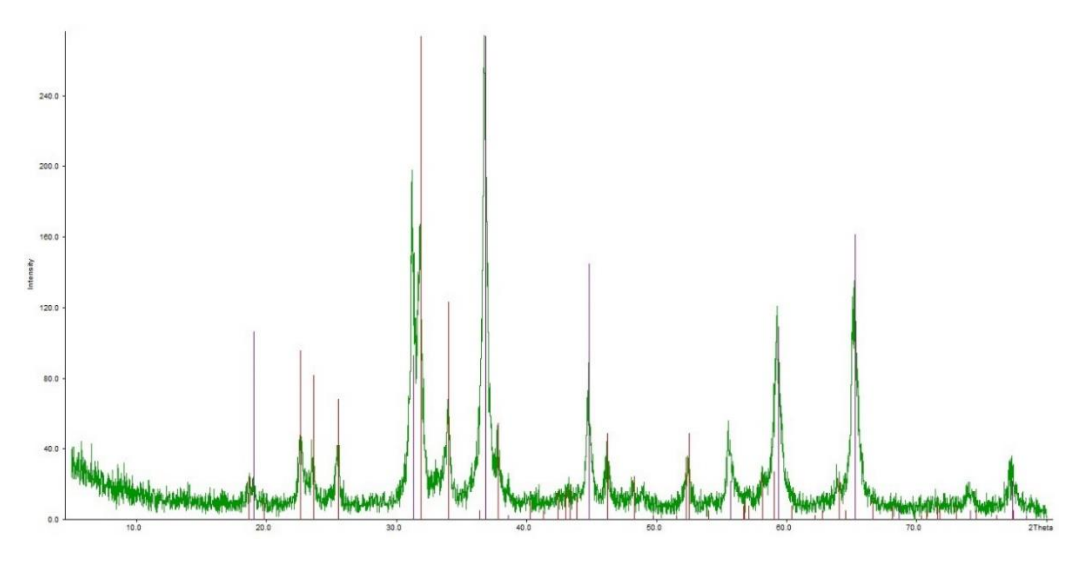


# Mg<sub>0,8</sub>Co<sub>0,2</sub>Al<sub>2</sub>O<sub>4</sub>

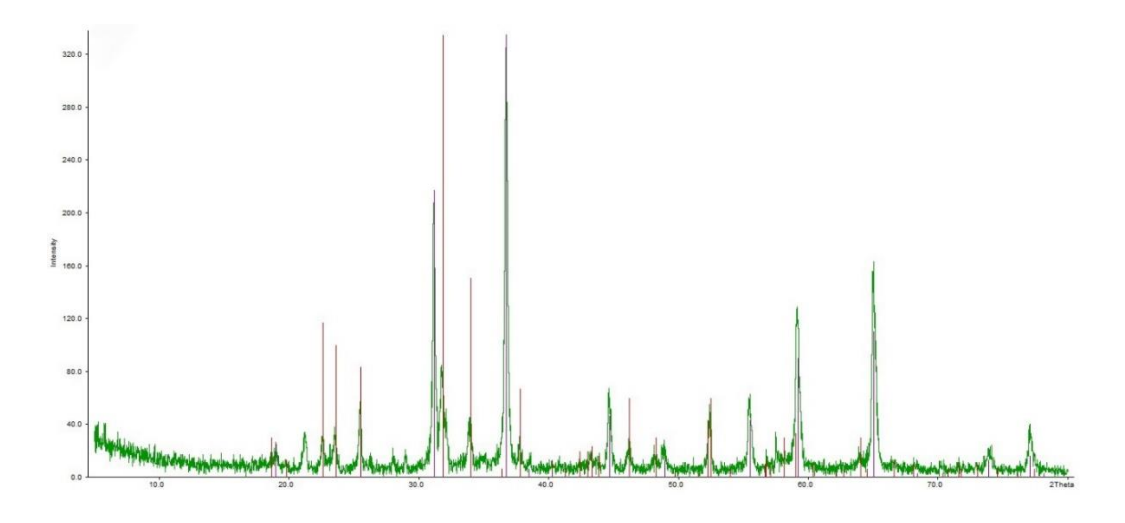
#### $Mg_{0,6}Co_{0,4}AI_2O_4$





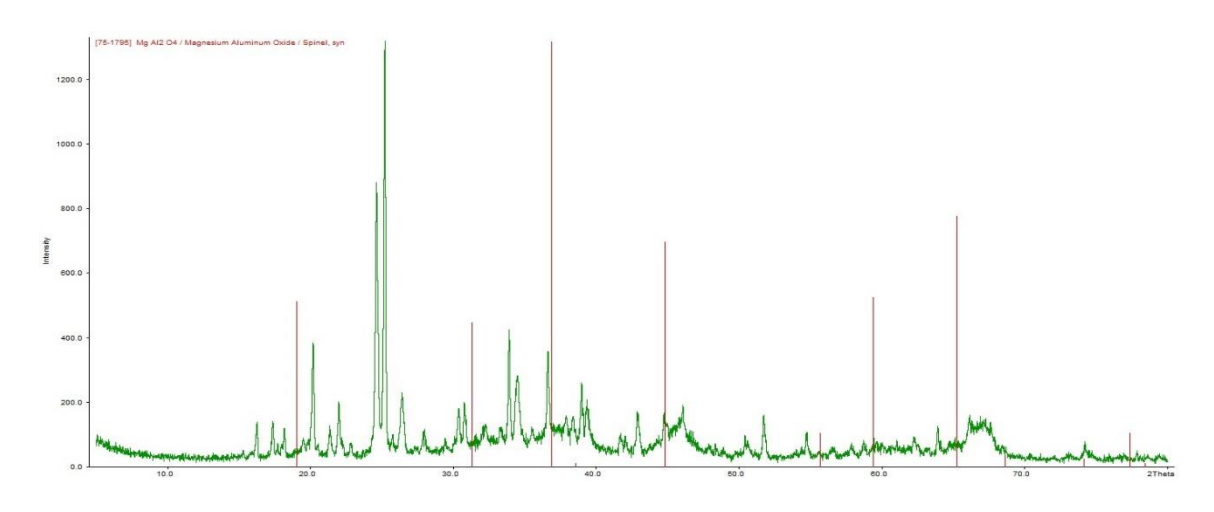


CoAl<sub>2</sub>O<sub>4</sub>

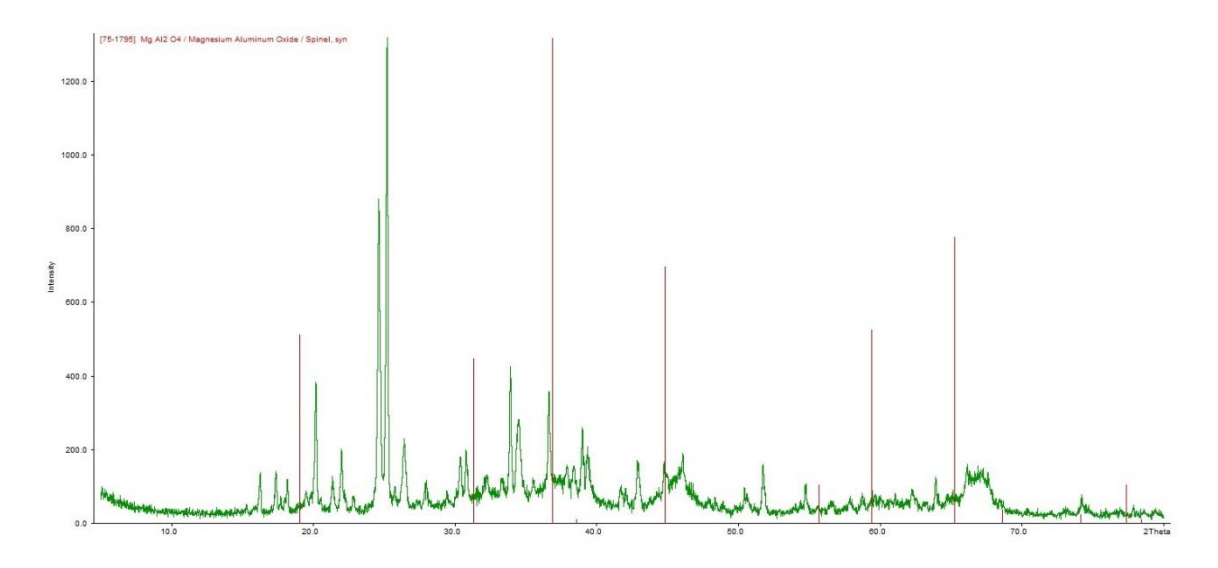


# Метод разложения солей, 900°C:



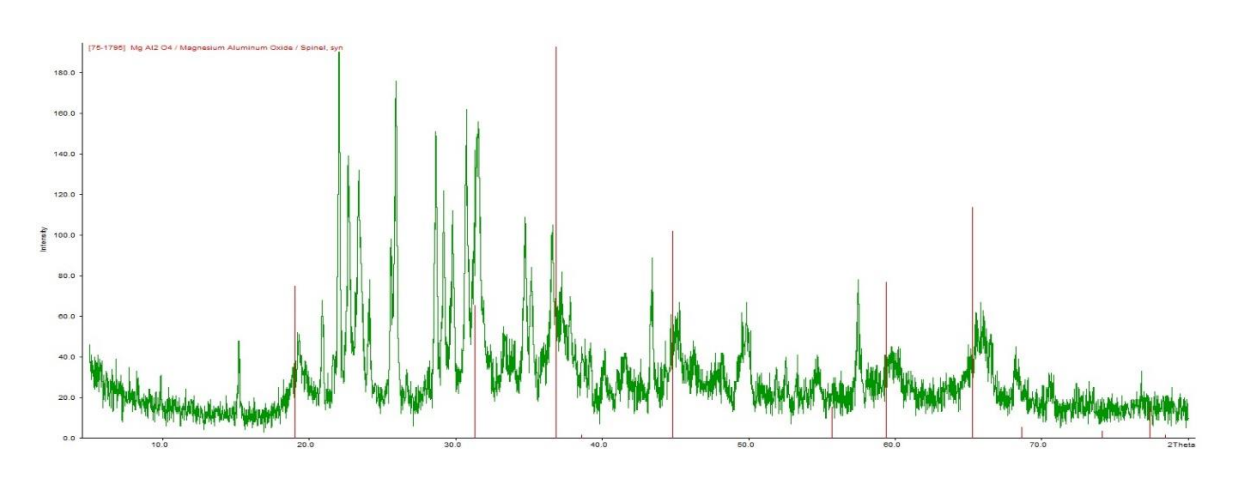


# CoAl<sub>2</sub>O<sub>4</sub>

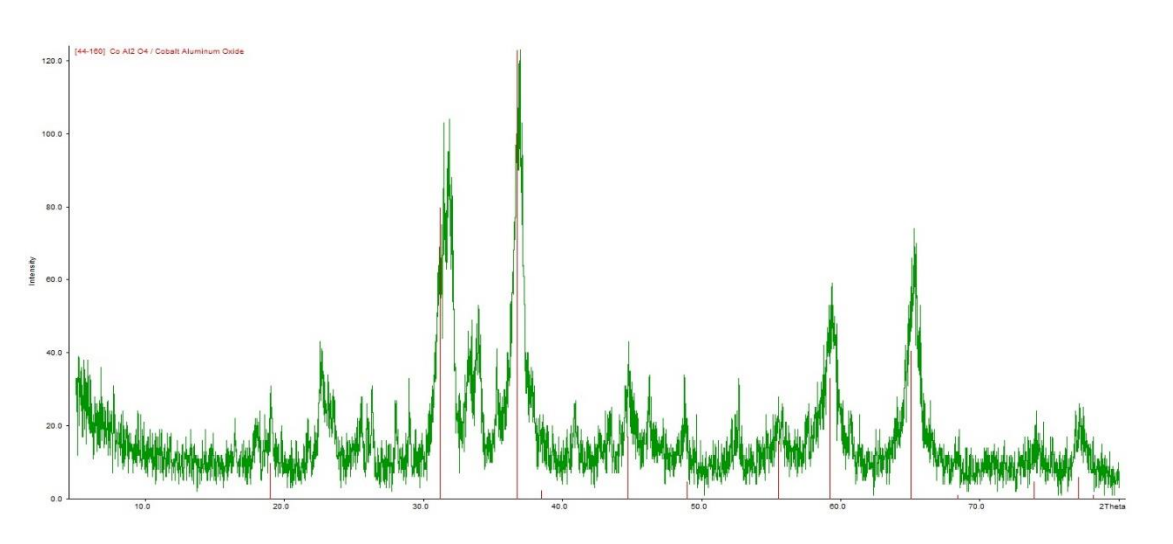


# Метод соосаждения, 900°C:

# MgAl<sub>2</sub>O<sub>4</sub>



# CoAl<sub>2</sub>O<sub>4</sub>



Как и ожидалось, при обжиге образцов в печи при температуре 900°C реакция только начала хоть сколь-нибудь заметно протекать зародышеобразования), о чём свидетельствует рентгенограмме. Он указывает на значительное содержание примесей, которыми в нашем случае являются оксиды алюминия и магния (то есть шпинелей, исходные вещества ДЛЯ получения полученные при разложении солей), а в образцах, полученных методом соосаждения, ещё и сульфат натрия(ожидаемое «загрязнение» осадка). Всё это означает, что мы практически подтвердили теоретические данные.

На рентгенограммах образцов с механической гомогенизацией после обжига при 900°C наблюдается тенденция лучшей кристаллизации и степени гомогенизации по мере замещения магния кобальтом. У образцов, полученных методом соосаждения не наблюдается гомогенности, поэтому параметры кристаллической решетки и массовая доля примесей были посчитаны только для образцов после обжига при 1200°C. У серии образцов механической гомогенизации наблюдаются примеси оксидов алюминия и магния, но при замещении магния кобальтом увеличивается доля шпинели и уменьшается доля не сплавившихся оксидов. Параметр решетки меняется нелинейно. У образцов соосаждения присутствует примесь сульфата натрия, однако, параметр решетки меняется линейно, что означает что при химической гомогенизации после обжига при 1200 были получены шпинели предсказанных составов.

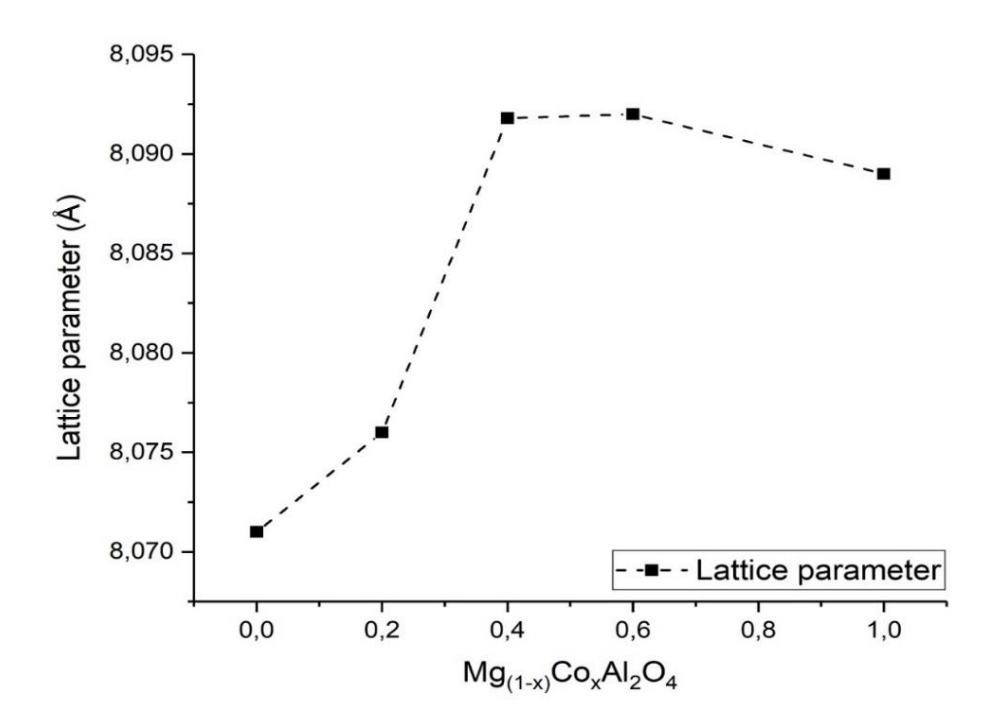
Для определения соотношения фаз в полученных образцах был выбран метод корундовых чисел, который предназначен для полуколичественного рентгеновского анализа смесей, когда необходимо быстро оценить состав выбранного образца с невысокой, но приемлемой точностью. В качестве внутреннего стандарта использован синтетический корунд (α-Al<sub>2</sub>O<sub>3</sub>) как наиболее чистый, стабильный и доступный

материал. Если весовое отношение внутреннего стандарта к анализируемой фазе будет 1:1, тогда корундовое число определяется как соотношение максимальных по интенсивности (I=100%) отражений образца и корунда:

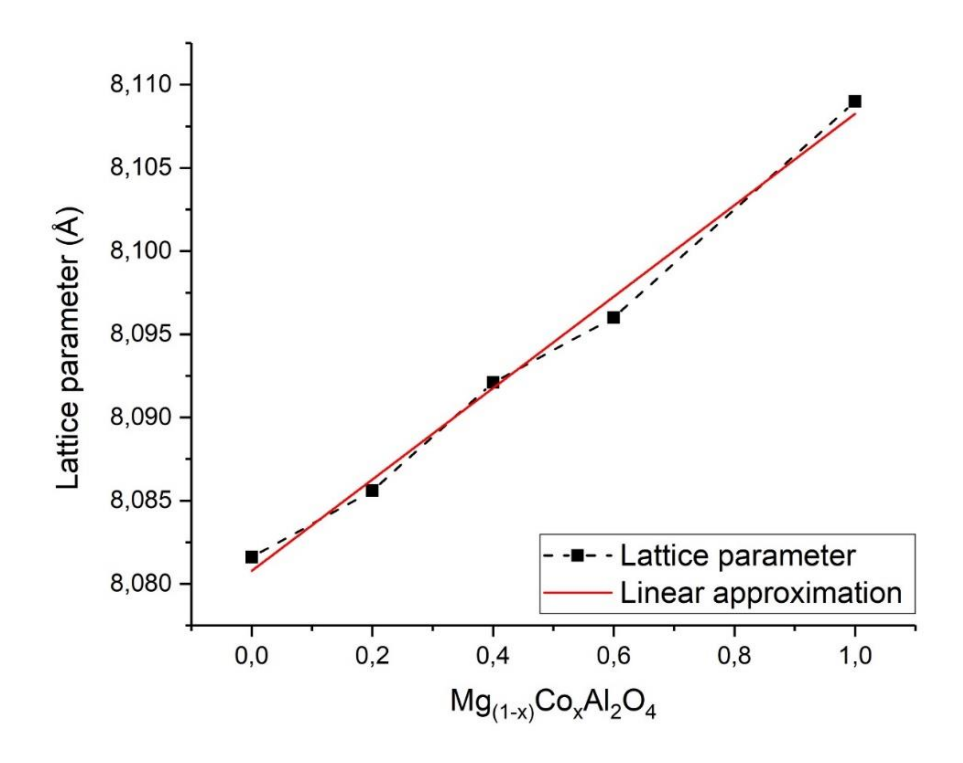
 $K=I_{\text{обр.100\%}}/I_{\text{кор.100\%}},$  где  $I_{\text{кор.100\%}}$  -отражение корунда, K- корундовое число, взятое из базы данных.

Образе ц	Теоретическ ий состав	Параметр Решетки, Å	ω, %
	Совместное разложение, 1200°C		
KD1	$MgAl_2O_4$	8,071	21,23%
KD2	$\begin{matrix} Mg_{0,8}Co_{0,2}Al_2 \\ O_4 \end{matrix}$	8,076	30,58%
KD3	$\begin{matrix} Mg_{0,6}Co_{0,4}Al_2 \\ O_4 \end{matrix}$	8,0918	54,09%
KD4	$\begin{matrix} Mg_{0,4}Co_{0,6}Al_2 \\ O_4 \end{matrix}$	8,092	73,00%
KD5	CoAl <sub>2</sub> O <sub>4</sub>	8,089	81,13%
	Карбонатное соосаждение, 1200°C		
KD-121	$\mathrm{MgAl_2O_4}$	8,0816	69,55%
KD-122	$\begin{matrix} Mg_{0,8}Co_{0,2}Al_2 \\ O_4 \end{matrix}$	8,0856	64,14%
KD-123	$\begin{matrix} Mg_{0,6}Co_{0,4}Al_2 \\ O_4 \end{matrix}$	8,0921	54,36%
KD-124	$\begin{array}{c} Mg_{0,4}Co_{0,6} \\ Al_2O_4 \end{array}$	8,096	49,76%

Образец	Фазы	Интенсивность макс. пика	Корундовое число, I/I $_{c}$	ω, %
	Со	вместное разложение, 1200°C		
KD1	$(MgAl_2O_4)$			ı
	Шпинель	997	1,74	21,23%
	$Al_2O_3$	1655	0,99	61,93%
	MgO	1378	3,03	16,85%
KD2	$(Mg_{0,8}Co_{0,2}Al_2O_4)$			
	Шпинель	1028	2,34	30,58%
	$Al_2O_3$	710	1	49,42%
	MgO	873,5	3,04	20,00%
KD3	$(Mg_{0,6}Co_{0,4}Al_2O_4)$			
	Шпинель	1449,5	2,5	54,09%
	$Al_2O_3$	401	1	37,41%
	MgO	277	3,04	8,50%
KD4	$(Mg_{0,4}Co_{0,6}\ Al_2O_4)$			
	Шпинель	1601,5	3	73,00%
	$Al_2O_3$	142,7	1	19,51%
	MgO	166,3	3,04	7,48%
KD5	$(CoAl_2O_4)$			
	Шпинель	1018	3,7	81,13%
	$Al_2O_3$	64	1	18,87%
Карбонатное соосаждение, 1200°С				
KD-121	$(MgAl_2O_4)$			I
	Шпинель	623	1,74	69,55%
	$Na_2SO_4$	282,2	1,8	30,45%
KD-122	$(Mg_{0,8}Co_{0,2}Al_2O_4)$			
	Шпинель	500	2,34	64,14%
	$Na_2SO_4$	215	1,8	35,86%
KD-123	$(Mg_{0,6}Co_{0,4}Al_2O_4)$			
	Шпинель	355,6	2,5	54,36%
	$Na_2SO_4$	215	1,8	45,64%
KD-124	$(Mg_{0,4}Co_{0,6} Al_2O_4)$			
	Шпинель	274	3	49,76%
	Na <sub>2</sub> SO <sub>4</sub>	166	1,8	50,24%
KD-125	(CoAl <sub>2</sub> O <sub>4</sub> )			
	Шпинель	335	3,7	65,85%



1. "Закон Вегарда для Серии образцов механической гомогенцизации,  $1200^{\circ}C$ 



2. "Закон Вегарда для Серии образцов механической гомогенцизации, 1200оС

## Выводы

В ходе этого практикума мы:

- 1. Получили навыки работы в лаборатории
- 2. Освоили метод рентгено-фазового анализа и получили навыки обработки результатов РФА
- 3. Синтезировали шпинели состава  $Mg_{1-x}Co_xAl_2O_4$  методами соосаждения и механического перетирания
- 4. Исследовали полученные шпинели методом рентгенофазного анализа
- 5. На основании полученных данных установили структуру полученных шпинелей
- 6. Сравнили преимущества и недостатки использованных методов синтеза шпинелей

# Список использованной литературы

- 1. Вест А. «Химия твердого тела», 1988г
- 2. Отчеты студентов І курса ФНМ по десятинедельному практикуму.